

報 文
 화학공학 제14권 제3호
 HWAHAK KONGHAK
 J. of the KOREAN INST. CHEM. ENGRS.
 Vol. 14, No. 3, June 1976

酸化鐵還元에 對한 添加物의 効果(II)

柳 廉 玉 · 文 世 基 · 金 炯 辰

漢陽大學校 工科大學 化學工學科

(접수 1976. 3. 24)

Effect of Additives on the Reduction of Hematite(II)

Kyong Ok Yoo, Sei Ki Moon, and Hyung Jin Kim

Department of Chemical Engineering, College of Engineering,
 Hanyang University, Seoul 133, Korea

(Received March 24, 1976)

要 約

酸化鐵還元에 對한 添加物의 역할을 규명하기 위하여 水素에 依한 酸化鐵의 還元速度를 測定하였다. 添加物로는 Na_2O , MgO , CaO 等이 使用되었으며 이들 添加試料의 還元速度는 일반적으로 添加物의 이온반경이 커짐에 따라 增加되는 경향을 나타냈다. 그러나 添加物과 酸化鐵이 固溶體를 형성할 때는 이온반경에 關係없이 還元速度는 增加되었다. 酸化鐵還元에 對한 添加物의 역할은 酸化鐵(α - Fe_2O_3)의 缺損構造와 電子移動機構로서 說明하였다. 즉 添加物이 酸化鐵構造格子의 interstitial position에 들어갈 때는 酸化鐵보다 더 不安定한 構造를 갖게되어 還元速度를 增加시키며 octahedral position에 들어갈 때는 α - Fe_2O_3 보다 더 안정한 化合物을 형성하여 還元速度를 감소시킨다고 생각된다.

Abstract

To clarify the role of dopants on the reduction rate of hematite with hydrogen, the losses in weight have been measured for pure and doped hematite. Sodium oxide, magnesium oxide and calcium oxide were used as dopants. The ionic radii of these dopants were larger than that of hematite. The reduction rate of the doped hematite was increased with increasing radius of dopant. However, the reduction rate was not concerned with the radius of dopant when solid solution was formed be-

tween dopant and hematite. The role of dopants on the reduction rate were discussed in terms of defect structure of hematite and electron transfer mechanism. When a dopant incorporated in hematite expels the interstitial Fe^{2+} ions to the octahedral position, the structure of the doped hematite turned out to be more defective than that of a normal hematite, and the rate of reduction was increased. When a dopant expels the octahedral Fe^{2+} ions to the interstitial position, the structure of the doped hematite became nearer to the stoichiometric structure than a normal hematite, and the rate of reduction was decreased.

I. 緒論

酸化鐵還元에 있어서 添加物效果에 對한 研究는 極히 드물다.

1967년 Khallafalla 와 Weston¹⁾은 wustite에 알카리金屬 및 알카리土金屬酸化物을 첨가시켜一酸化炭素로 還元시킨 結果 少量의 알카리 및 알카리土金屬酸化物이 wustite의 還元速度를 크게增加시켰다고 報告하였다. 또한 還元速度의 增加率은 첨가물의 이온반경 및 전하에 비례하여 증가되고 첨가물의 첨가량은 還元速度를 증진시키는데 있어 어느 한계점이 있다고 밝혔다. 즉 포타시움을 비롯한 대부분의 添加物은 0.69atomic %를 첨가했을 때 가장 좋은 還元速度의 증가를 나타냈고 酸化칼슘은 2 atomic% 근방에서 還元速度가 가장 빨랐다. 그러나 反應速度의 差異가 생기는 理由에 對해서는 言及하지 않았다.

한편 本研究者는 $\alpha\text{-Fe}_2\text{O}_3$ 구조격자속으로 添加物이 잘 첨가되게 하기 為하여 Fe^{3+} 보다 이온반경이 작은 物質인 Li^+ , Al^{3+} 및 Ga^{3+} 의 酸化物을 첨가하여 280°C~425°C에서 水素로 還元시켰다. 이 結果에 의하면 Li_2O 를 doping 시킨 경우는 $\alpha\text{-Fe}_2\text{O}_3$ 의 還元速度를 증가시켰으나 Al_2O_3 와 Ga_2O_3 는 오히려 순 $\alpha\text{-Fe}_2\text{O}_3$ 보다도 감소되었다. 添加量의 效果에 있어서는 Li_2O 의 경우 0.5 atomic% 일 때 최고의 증가속도를 나타냈으며, Ga_2O_3 는 添加量이 증가함에 따라 還元速度는 감소되었다. Al_2O_3 역시 Ga_2O_3 와 마찬가지로 $\alpha\text{-Fe}_2\text{O}_3$ 보다 還元速度를 감소시켰으나, 2 atomic% 일 때의 還元速度가 가장 커졌다. 添加試料의 粒徑과 比表面積 및 添加物의 이온반경의 영향도 조사하여 보았으나 還元速度와 特別한 關係를 찾지 못했다. 結論的으로 各試料의 反應度의 差異

를 $\alpha\text{-Fe}_2\text{O}_3$ 의 결손 구조로서 說明하였다. 菱面體格子構造를 가진 $\alpha\text{-Fe}_2\text{O}_3$ 는 약간의 酸素缺損을 가진 物質로서 酸素이온은 密集六面體格子에, Fe^{3+} 이온은 octahedral interstices에 위치하고 있다. 동시에 Fe^{3+} ion 위치와 다른 interstices에 酸素결손에 해당되는 극소량의 Fe^{2+} ion이 存在하여 첨가물과 Fe^{2+} 이온간의 위치변화에 따라 $\alpha\text{-Fe}_2\text{O}_3$ 의 환원속도 증가 또는 감소한다고 報告하였다. 이를 보강화충하는 研究로서 前報에서 Fe^{3+} 보다 이온반경이 작은 添加物을 使用한 대신 本研究에서는 Fe^{3+} 보다 큰 이온반경을 가진 Na^+ , Ca^{2+} , Mg^{2+} 의 酸化物을 添加物로 사용하여 前報에서 제안한 酸化鐵內部의 전자이동기구에 의한 酸化鐵還元機構를 규명하고자 한다.

II. 實驗

1. 添加試料의 製造: 酸化鐵로는 化學的으로 純粹한 $\alpha\text{-Fe}_2\text{O}_3$ (99.9%)를 使用하였으며 添加物로는 NaNO_3 , $\text{Mg}(\text{NO}_3)_2 \cdot 6\text{H}_2\text{O}$, $\text{Ca}(\text{NO}_3)_2 \cdot 4\text{H}_2\text{O}$ 등으로서 金屬이온의 반경은 모두 Fe^{3+} 이온반경 보다 크다. 添加物의 構造, 이온반경, 용점등의 物理的 性質을 $\alpha\text{-Fe}_2\text{O}_3$ 의 것과 함께 Table 1에 表示하였다.

酸化鐵에 添加物을 넣는 操作은 다음과 같은 方法으로 行하였다. (1) 一定量의 添加物을 종류수에 녹인다.

(2) 添加物의 量에 상당하는 量의 $\alpha\text{-Fe}_2\text{O}_3$ 를 이 용액에 混合하고 (3) 이 混合溶液을 고반시키면서 적외선lamp로 加熱하여 完全히 乾燥시키고 형성된 덩어리를 실온까지 냉각시켜 約 1μ의 粒徑이 되도록 分解한다. (4) 添加物과 酸化鐵이 혼합된 이 分체를 添加物(질산염狀態)의 融點보다 20°C 정도 높아질 때까지 서서히 加熱하고 이

Table 1. The physical properties of the pure and doped hematite and the dopants.

dopant	Na ₂ O			MgO			CaO			Hematite
doping content (at%)	0.5	1.0	2.0	0.5	1.0	2.0	0.5	1.0	2.0	
Lattice Constant (Å)	5.4209	5.4206	5.4198	5.4219	5.4217	5.4209	5.4223	5.4217	5.4225	5.4228
Activation Energy (kcal/g-mol)	15.99	16.89	17.42	15.38	16.59	17.33	15.79	14.96	13.96	16.08
Solid Solution	none			none			CaFe ₂ O ₄			
Ionic Radius (Å)	Na ⁺ : 0.98			Mg ²⁺ : 0.78			Ca ²⁺ : 1.06			Fe ³⁺ : 0.67
System	Cubic			Cubic			Cubic			Rhombohedral
Original Form of Dopant	NaNO ₃			Mg(NO ₃) ₂ · 6H ₂ O			Ca(NO ₃) ₂ · 4H ₂ O			α-Fe ₂ O ₃
M. P. (°C)	308			95			42.7			1560
MW	85.00			256.43			236.16			159.70

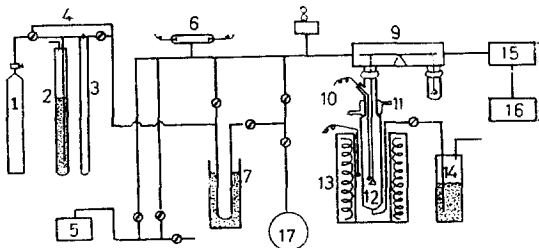
溫度에서 約 1時間정도 加熱한 다음 계속 溫度를 높히어 1000°C에서 6時間동안 유지시킨다.

(5) 다시 室溫으로 空氣中에서 냉각시킨 다음 約 1μ 정도로 粉碎하여 데시케이터에 보관한다. 添加試料와 같은 條件으로 만들기 위하여 純粹 α-Fe₂O₃ 역시 空氣中에서 6時間동안 加熱하여 같은 粒徑의 粉體로 만들어 보관한다.

2. X-Ray 分析: 모든 試料는 組成과 格子定數를 測定하기 위하여 X-線回折器(Holland Phillips PW-1051)로 分析되었다. X線回折器動作條件은 target : Co(K_α), filter; Fe, 電壓 : 30kv, 電流 : 10mA, counter: G.C, full count scale; 800 cps, scanning speed; 2°2θ/min. 回折角範圍는 20~80°였으며 格子定數를 測定할 때만은 scanning speed는 $\frac{1}{4}$ 2θ/min, 回折角은 50°~150°였고 其他條件은 위와 同一하게 하였다.

3. 實驗裝置 및 方法: Fig. 1에 보인 바와 같이 實驗裝置는 가스流量調節器, 真空 line, microbalance, 溫度調節器等 네部分으로 나누어져 있다.

수소가스는 venturi-manometer에서 流量이 調節된 다음 真空 line을 通하여 反應器는 直徑 15mmφ; 높이 4mm인 白金접시를 使用하였다. 수소가스속에 포함된 水分은 真空裝置에 부착된 드라이아이스트랩에서 除去하였고 空氣가 反應器속으로 逆流하는 것을 막기 위하여 反應器의 끝부분에 유동파라핀트랩을 부착시켰다. 反應器



1. hydrogen bomb 2. water cylinder for controlling flow rate 3. venturi manmeter 4. bypass line 5. Rotary pump 6. ionized gauge 7. liquid nitrogen trap 8. Pirani gauge 9. micro-balance (Shimadzu RMB-50V) 10. Pt-Pt-13%Rd thermocouple 11. water condenser 12. platinum sample basket 13. electrical furnace 14. liquid paraffin trap 15. controller of balance (Shimadzu RMB-50V) 16. electronic polyrecorder (TOA model EPR-10 A) 17. N₂ gas

Fig. 1. Schematic diagram of experimental apparatus.

의 加熱源은 垂直方向으로 움직일 수 있는 電氣爐였고 爐內壁에 부착된 Pt-Pt 13% R_d 热電對로서 溫度를 調節하였다. 또한 같은 형의 热電對를 反應試料上部에 넣어 反應溫度를 測定하였다. 壓力은 이온화계이자로 측정하였다. 試料의 減量은 Shimadzu recording microbalance (Type RMB 50V)로 하였고 이때 記錄計로는 TOA electronic polyrecorder(model EPR 10A)를 使用하였다.

였다. 實驗은 다음과 같은 方法으로 行하였다.

- (1) 白金試料접시에 試料 40mg 을 可能한대로 單一粒子層으로 펴놓고 白金線으로 microbalance beam에 빼어낸다.
- (2) 反應器內의 空氣를 除去하기 為하여 10^{-3} torr 까지 減壓시킨다.
- (3) 주어진 實驗溫度보다 10°C 정도 미달될때까지 전기로로 加熱한다.
- (4) 記錄計의 零點을 재조정한다음 수소가스를 넣어주면서 反應시킨다.
- (5) 反應이 끝나면 수소가스流入과 反應器에서 加熱爐를 除去하고 그 以上的 反應이 進行되지 않게 다시 10^{-3} torr 정도로 감압시키면서 室溫으로 冷却하고 질소가스를 충진하여 24時間 放置한다. 生成物은 X-ray 分析과 전자현미경으로 조성과 形태를 관찰하였다.

實驗溫度는 $280^{\circ}\sim425^{\circ}\text{C}$ 였으며 水素가스의 流入速度는 前報와 마찬가지로 57cc/min 였다.

III. 結果 및 考察

Table 1에 添加試料 및 純 $\alpha\text{-Fe}_2\text{O}_3$ 의 物性定數와 함께 活性化에너지等 實驗結果를 表示하였다. 各試料의 粒徑은 $0.4\sim4\mu$, 比表面積은 約 $1\text{m}^2/\text{gr}$ 으로 前報의 것과 비슷하였다. Fig. 2에는 前報에서 行한 Li_2O , Al_2O_3 , Ga_2O_3 添加試料의 格子定數와 함께 本研究에서 使用한 Na_2O , MgO , CaO 添加試料의 格子定數를 添加量에 對하여 그렸다.

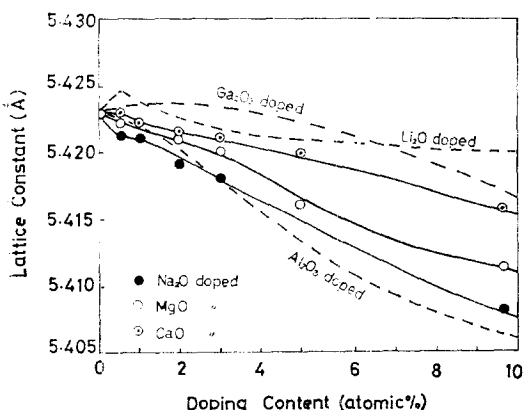


Fig. 2. Change of lattice constant of doped hematite.

그림에 나타난 바와같이 $\text{Li}_2\text{O}-\text{Fe}_2\text{O}_3$ 및 $\text{Ga}_2\text{O}_3-\text{Fe}_2\text{O}_3$ 系의 格子定數는 $\alpha\text{-Fe}_2\text{O}_3$ 의 것보다 添加量이 작을때는 약간 커졌다가 添加量이 增加함에 따라 다시 감소되었다. $\text{Na}_2\text{O}-\text{Fe}_2\text{O}_3$, $\text{MgO}-\text{Fe}_2\text{O}_3$, $\text{CaO}-\text{Fe}_2\text{O}_3$ 및 $\text{Ga}_2\text{O}_3-\text{Fe}_2\text{O}_3$ 系에 있어서는 $\alpha\text{-Fe}_2\text{O}_3$ 的 格子定數보다 작은 값이었고 添加量의 增加로 감소되는 경향을 나타내고 있다. 結晶構造論의 立場에서 볼때 정확히 dopant로서의 역할을 한 添加劑는 6 가지중 固溶體를 형성한 Li_2O 와 CaO 뿐이다. 또한 固體結晶構造論의一般的 見解는 두 物質이 固溶體를 만들때 格子定數가 약간 增加된다고 되어 있으나 $\text{CaO}-\text{Fe}_2\text{O}_3$ 系에 있어서는 오히려 格子가 감소되었다.

本研究者는 添加物이 酸化鐵還元에 미치는 영향에 關한 一聯的研究에서 還元速度와 格子定數사이에 어떤 函數關係가 있는가를 探하기 為하여 兩者를 여러가지 面에서 比較検討하였으나 이러한 경향은 찾지 못했다. 즉 $\text{Ga}_2\text{O}_3-\text{Fe}_2\text{O}_3$ 系에 있어서 格子定數는 $\alpha\text{-Fe}_2\text{O}_3$ 보다 크지만 還元

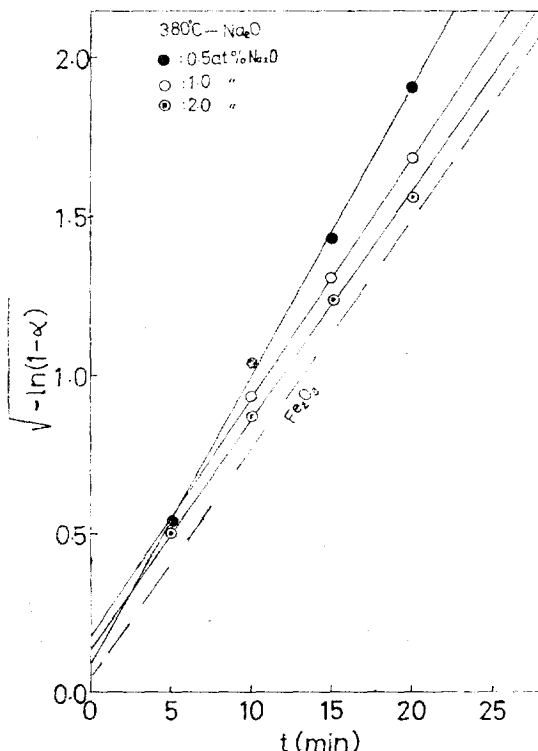


Fig. 3. Avrami plot for Na_2O -doped hematite at 380°C .

速度는 감소되었으며 $MgO-Fe_2O_3$, $CaO-Fe_2O_3$ 및 $Na_2O-Fe_2O_3$ 系의 경우 格子定數는 $\alpha-Fe_2O_3$ 보다 작은 反面에 還元速度는 오히려 增加되었다. 試料의 X-ray 分析結果 CaO 添加試料는 calcium ferrite($CaFe_2O_4$) 형의 固溶體가 形成되었다는 것 이 밝혀져으나 其他의 添加物에 있어서는 固溶體를 形成하지 않았다. 다음은 各試料의 還元速度測定結果에 대하여 說明하겠다.

Na_2O 添加試料 즉 $Na_2O-Fe_2O_3$ 系에 있어서는 0.5 atomic%의 Na_2O 를 첨가했을 때 $\alpha-Fe_2O_3$ 보다 還元速度가 增加되었고 이보다 添加量이 많아지므로서 速度는 감소되었다. $280^\circ \sim 425^\circ C$ 에서 行한 이를 速度데이터는 界面化學反應律速에 기초를 두고 誘導한 Avrami式^{3,4)} ($\sqrt{-\ln(1-\alpha)} = kt$ 단 α : 還元率, t : 反應時間)에 잘 맞았다. 代表的인 結果를 Fig. 3에 나타냈다.

MgO 添加試料 즉 $MgO-Fe_2O_3$ 系 역시 $Na_2O-Fe_2O_3$ 系와 마찬가지로 0.5 atomic%添加時는 $\alpha-Fe_2O_3$ 보다 還元速度가 增加되었으나 첨가량이

增加되므로서 還元速度는 감소되었다. 代表的인 結果를 Fig. 4에 表示하였다. 위의 두 試料의 경우와는 달리 CaO 添加試料 即 $CaO-Fe_2O_3$ 系에 있어서는 特異한 結果를 나타내고 있다. (Fig. 5 참조).

$Na_2O-Fe_2O_3$ 系 및 $MgO-Fe_2O_3$ 系에 있어서는 添加量이 0.5 atomic%에서 最大의 還元速度를 나타내다가 添加量이 增加하면 速度는 감소되는 경향을 보이는데 반하여 $CaO-Fe_2O_3$ 系에서는 CaO 첨가량에 따라 還元速度도 徐徐히 增加하여 2 atomic%때에 最大速度를 나타내고 이以上으로 첨가량이 增加하면 다시 감소되는 경향을 나타내었다. 이러한 경향은 前報에서 行한 $Al_2O_3-Fe_2O_3$ 系에서도 나타나고 있다. 그러나 $Al_2O_3-Fe_2O_3$ 系는 전반적으로 $\alpha-Fe_2O_3$ 보다 還元速度가 낮은 값을 나타내어 反應속진제로서의 역할은 하지 못하였다. 이 두系에對한 說明은 活性化에너지와 相關시켜 다음에 더 考察하기로 하겠다. Fig. 6~8은 Avrami 速度式으로 부터 求한

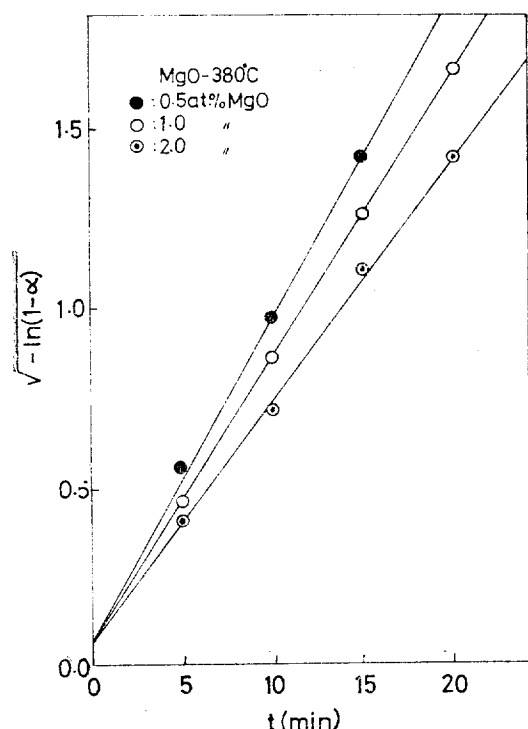


Fig. 4. Avrami plot for Mg-doped hematite at $380^\circ C$.

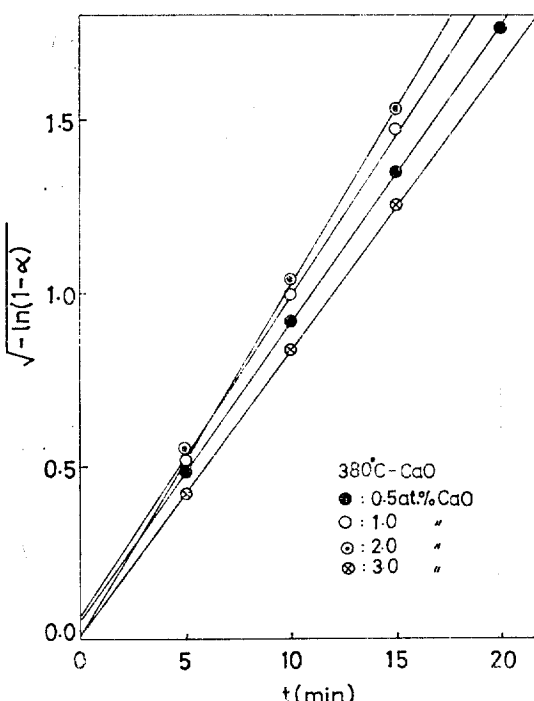


Fig. 5. Avrami plot for CaO-doped hematite at $380^\circ C$.

反應速度定數 k を Arrhenius plot 한結果이며 이 그림으로부터 活性化에너지 값을 Table 1에 收錄하였다. 添加物의 種類와 添加量變化가 還元速度에 미치는 영향을 보기 위하여 Fig. 9에는 活性化에너지와 添加量에 對하여 프로트하였다.

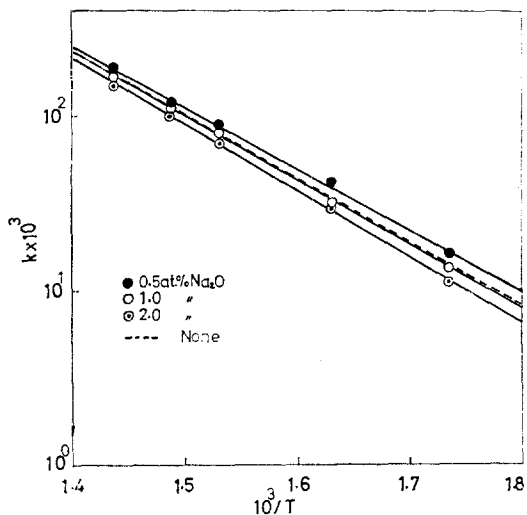


Fig. 6. Temperature dependence of the rate constant of Na_2O -doped hematite.

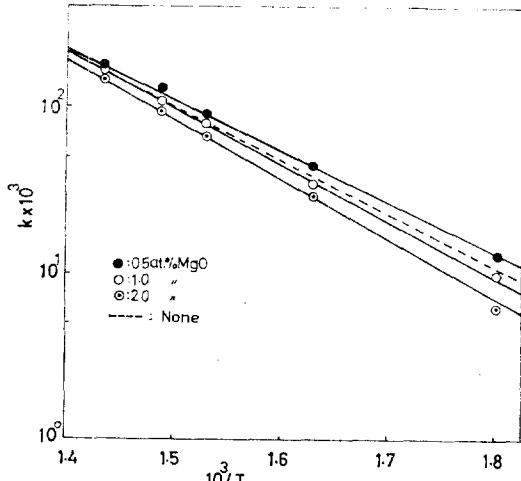


Fig. 7. Temperature dependence of the rate constant of MgO -doped hematite.

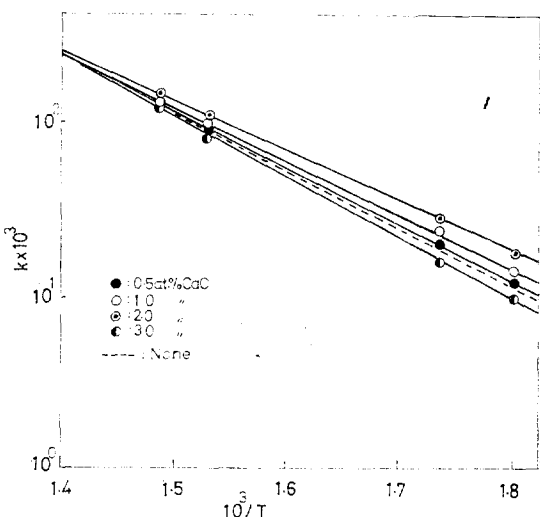


Fig. 8. Temperature dependence of the rate constant of CaO -doped hematite.

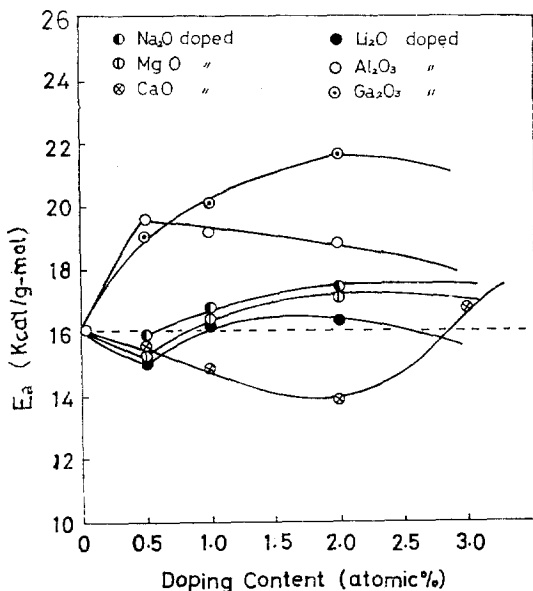


Fig. 9. Activation energy as a function of the doping content for doped hematite.

그림에 보여진 바와 같이 Li_2O , Na_2O , MgO 添加試料는 0.5 atomic%를 添加했을 때, 그리고 CaO 添加試料는 2 atomic%를 첨가했을 때의 活性化에너지가 $\alpha\text{-Fe}_2\text{O}_3$ 의 活性化에너지 16.08 kcal/g-mole 보다 작은 값을 나타내므로 이 添加物들은 $\alpha\text{-Fe}_2\text{O}_3$ 還元의 반응촉진제 역할을 한다는 것

을 알 수 있다. 이에 反하여 Al_2O_3 와 Ga_2O_3 添加試料는 어떠한 경우도 반응촉진제 역할을 못하고 있다는 것을 알 수 있다. 添加物의 이온반경과 還元速度와의 關係를 알아보기 為하여 Fig. 10에 活性化에너지와 이온반경의 關係圖를 그렸다.

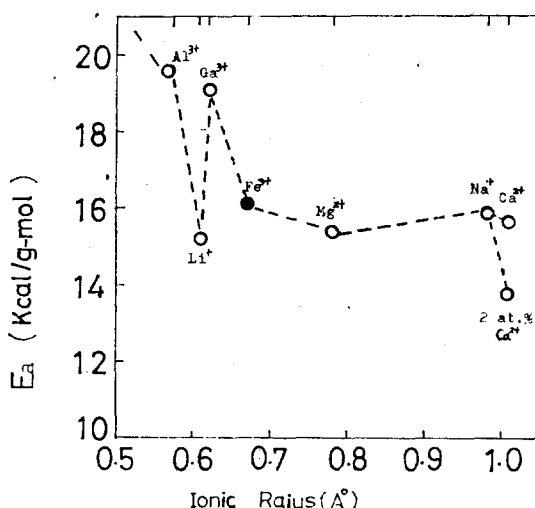


Fig. 10. Activation energy as a function of the dopant ionic radius for 0.5 atomic %-doped hematite.

그림의一般的인 경향은 이온반경이 커짐에 따라活性化에너지가 감소되고 있다. 이것은添加試料의還元速度가一般的으로添加物의 이온반경에 비례하여增加되는 경향이 있음을 표시한다. 또한 表面積은 반경의 제곱에 비례하므로添加物의 表面積이 크면 클수록還元速度가增加된다는 것을 암시한다. 이점은 Khallafalla¹¹의結果와一致된다.例外로서 Li^{+} 의 이온반경 Fe^{3+} 의 이온반경보다 작음에도 불구하고 Li_2O 添加試料의還元速度가 $\alpha\text{-Fe}_2\text{O}_3$ 의 것보다 큰 까닭은첨가물과 $\alpha\text{-Fe}_2\text{O}_3$ 간에 형성된固溶體 lithium ferrite($\alpha\text{-LiFe}_5\text{O}_2$)의效果로 볼 수 있다. 固體結晶構造論에 의하면固溶體는源物質보다反應速度가 빠른것으로 나타나 있다. 이러한 현상은 $\text{Li}_2\text{O}\text{-Fe}_2\text{O}_3$ 系뿐만 아니라 $\text{CaO}\text{-Fe}_2\text{O}_3$ 系 및 $\text{Al}_2\text{O}_3\text{-Fe}_2\text{O}_3$ 系에서도 알 수 있다. $\text{CaO}\text{-Fe}_2\text{O}_3$ 系에서는 calcium ferrite($\alpha\text{-CaFe}_2\text{O}_4$ Spinels)가 형성되며 $\text{Al}_2\text{O}_3\text{-Fe}_2\text{O}_3$ 系에서는 1300°C以上에서固溶

體 $\text{Al}_2\text{O}_3\cdot\text{Fe}_2\text{O}_3$ 가 형성되는 것으로 Al-O-Fe 狀態圖⁵⁾에 나타나 있다. Fig. 9에 依하면 모든試料가 다 0.5atomic%의添加物을 첨가했을때還元速度가最大로增加한데反하여 $\text{CaO}\text{-Fe}_2\text{O}_3$ 系와 $\text{Al}_2\text{O}_3\text{-Fe}_2\text{O}_3$ 系만이 2atomic%에서最大値을 나타냈다. 그理由는 이들系가本實驗의試料製造溫度 1000°C에 있어서는 2atomic%以下의少量의첨가물로固溶體形成이어려운것으로 생각되나 확실성있는理由究明은研究課題로 두겠다.

또한 280°~425°C의全溫度區間에서反應初부터反應이완전히끝날때까지每10分마다生成物을거내어X-ray分析과현미경관찰을한結果前報와같이 $\alpha\text{-Fe}_2\text{O}_3$ 는中간과정을거치지않고직접金屬鐵로還元되었다.

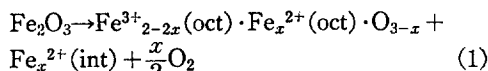
以上의結果를考察하여볼때本研究에서使用한6가지添加物을 $\alpha\text{-Fe}_2\text{O}_3$ 의還元速度를增加시키는群과감소시키는群즉두개의群으로分類하고 $\alpha\text{-Fe}_2\text{O}_3$ 의缺損構造와電子移動機構로서還元速度의增減의原因을다음과같이說明한다.

group I: Li^{+} , Na^{+} , Mg^{2+} , Ca^{2+}

group II: Ga^{3+} , Al^{3+}

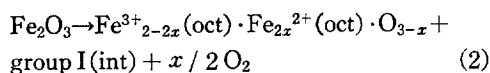
前報의考察에서도說明한바와같이 $\alpha\text{-Fe}_2\text{O}_3$ 는麥面體結晶構造로서格子定數 $a=b=5.4228\text{\AA}$, $c=13.6968\text{\AA}$,格子面角 $X=55.17^{\circ}$ 이며약간의酸素缺損構造를가지고있다. O^{2-} 이온은密集六面體格子에配列되어있으며, Fe^{3+} 이온은octahedral interstices를點有하고있다. Tanhauser⁶⁾는 $\alpha\text{-Fe}_2\text{O}_3$ (hematite)의電氣傳導機構에關한研究에서hematite構造內에 Fe^{2+} 이온의存在를가정하고 Fe^{2+} 이온이octahedral position에있을때는電氣傳導에영향을주나 다른interstitial position에있을때는電氣傳導度에아무런영향을주지않는다고說明하였다. 또한本研究者는前報에서hematite의電氣傳導度를測定했는데그結果hematite構造에는octahedral과임의의interstices에다 Fe^{2+} 이온이存在하며두位置에존재하는 Fe^{2+} 이온濃度가다같이酸素分壓의1/2승에비례하는것으로보아두位置에同量의 Fe^{2+} 이온이存在하며octahedral이아닌interstices에존재하는 Fe^{2+} 이온은hematite의缺損構

造에 큰 영향을 미치지 않는다고 가정하였다. 이와 같은立場에서 hematite의 缺損構造式은 다음과식으로 表示할 수 있다.

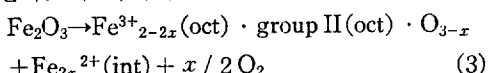


式(1)에서 $\text{Fe}^{3+}_{2-2x}(\text{oct})$ 과 $\text{Fe}_x^{2+}(\text{oct})$ 는 octahedral에 存在하는 Fe^{3+} 및 Fe^{2+} 이온을 말하며 $\text{Fe}^{2+}(\text{int})$ 는 interstices에 위치한 Fe^{2+} 이온을 나타낸다. 즉 Fe^{3+} 이온이 位置하고 있는 octahedral position과 그 밖의 interstices에 同量의 Fe^{2+} 이온이 위치하고 있다는 것을 表示한 式이다. 이 식으로 각 dopant의 反應度의 差異點을 說明할 수 있다.

첫째 group I doped hematite에 있어서는 Fe^{2+} (int) 位置에 group I이 들어가면서 Fe^{2+} (int)를 Fe^{2+} (oct) 位置로 밀어내므로 式(1)은



로 된다. 즉 octahedral position에 Fe^{2+} 이온 농도가 두배로 增加하므로 group I doped hematite는 純粹 hematite보다 化學量論的으로 더 不安定한 缺損構造를 갖게 되므로 水素에 依한 還元反應度를 增加되게 한다. 한편 group II doped hematite의 構造는 Fe^{2+} (oct) 位置에 group II dopant가 들어감과 同時に Fe^{2+} (oct)는 Fe^{2+} (int) 位置로 밀려나게되어 純 hematite보다 더 化學量論的構造에 가까운 安定한 化合物을 形成하게 된다. 즉 이때의 缺損構造式은



로 된다. 그러므로 還元速度는 hematite보다 감소된다고 생각된다.

IV. 結論

1. 이온반경이 Fe^{3+} 이온보다 큰 添加物에 있어 서도 前報와 같이 Fe_2O_3 는 直接 金屬鐵로 還元

되었으며 모든 反應레이터는 Avrami 速度式에 잘 맞았다.

2. hematite의 還元速度는 일반적으로 添加物의 이온반경에 비례하여 增加되는 경향을 보였다.

단 固溶體를 形成할 때는 이온반경에 關係 없이 反應速度가 增加되는 것으로 생각된다.

3. 添加物間의 反應度의 差異는 hematite의 缺損構造와 電子移動機構로 說明된다. 즉 添加物이 hematite構造中 interstitial position에 들어가면 hematite보다도 심한 缺損構造를 갖는 不安定한 化合物이 되어 還元速度가 增加되며, octahedral position에 들어가면 比較的 化學量論的構造를 가진 안정한 物質이 되어 還元速度는 減少된다.

감사

이研究는 문교부 학술연구조성비에 의하여 행해진 것으로 문교부 關係諸位께 심심한 감사를 드리며, 아울러 研究와 試料分析에 크게 協助하여 주신 漢陽大學校 產業科學研究所와 化工科 3年 김태길君에게 감사드린다.

参考文獻

1. S.E. Khallafalla and P.L. Weston, *Trans of the Metallurgical Soci. of AIME* **239** (1967), 1494.
2. Kyong Ok Yoo, *J. of KICHE*, **12**(1974), 18.
3. M. Avrami, *J. of Chem. Phys.*, **7**(1939), 1103.
4. M. Avrami, *J. of Chem. Phys.*, **8**(1940), 212.
5. A. Muan, *Am. J. Soci.*, **256**(1958), 420.
6. D.S. Tanhauser, *J. of phys. Chem. Solids*, **23**(1962), 25.